

УДК 537.228.3 : 535.349.4 : 535.328

© 1990

**Tm_xS ($0.9 < x < 1.11$) —
НОВАЯ КОНЦЕНТРИРОВАННАЯ КОНДО-СИСТЕМА**

*Б. М. Буттаев, А. В. Голубков, Т. Б. Жукова, М. В. Романова,
В. В. Романов, В. М. Сергеева, И. А. Смирнов*

На основании измерений постоянной кристаллической решетки, микротвердости, удельной электропроводности, термоэдс магнитной восприимчивости и микроскопического исследования шлифов делается вывод о наличии в Tm_xS широкой области гомогенности ($0.9 < x < 1.1 \div 1.15$). В области гомогенности определено валентное состояние ионов тулля. Показано, что составы, расположенные в области гомогенности Tm_xS, по поведению физических характеристик можно отнести к классу концентрированных кондо-систем.

Одной из основных особенностей моносульфидов редкоземельных элементов (РЗЭ) является существование их в виде фаз переменного состава [1]. В области гомогенности наблюдается существенное изменение их физических свойств (особенно у моносульфидов двухвалентных РЗЭ Ln²⁺S, Ln = Sm, Eu, Yb [1, 2]). На границах области гомогенности обычно изменяется характер функциональной зависимости состав — свойство.

К настоящему времени достаточно подробно исследованы области гомогенности для всех моносульфидов РЗЭ, за исключением TmS. Настоящая работа посвящена детальному исследованию области гомогенности этого соединения.

1. Приготовление образцов

TmS был синтезирован из простых веществ [3]. Из полученного материала приготавливались плавленые или прессованные поликристаллические образцы. Синтез и плавка образцов проводились в герметизированных молибденовых контейнерах [4] в индукционной печи.

Благодаря надежной герметизации контейнеров, в которых проводились отжиг и плавка образцов, потери вещества были сведены к минимуму. Контроль состава осуществлялся взвешиванием загруженного в контейнер исходного материала и полученного конечного продукта. Химический анализ контрольных образцов подтвердил, что заданный исходный состав сохраняется достаточно хорошо.

Были приготовлены образцы Tm_xS с x от 0.8 до 1.35 (24 образца). Перечень полученных образцов приведен в табл. 1.

2. Методика эксперимента

В работе измерялись постоянная кристаллической решетки a , микротвердость H , удельная электропроводность ρ , термоэдс α , постоянная Холла R_X , магнитная восприимчивость χ и проводилось микроскопическое исследование шлифов.

Рентгеноструктурный анализ проводился на установке ДРОН-2 (в Co₆-излучении), а металлографический — на микроскопе МИМ-7;

Таблица 1

Характеристика полученных образцов Tm_xS
(физические параметры измерены при 300 К)

Номер образца	$x = \frac{Tm_xS}{\text{моль Tm}} / \frac{\text{моль S}}$	$a, \text{ \AA}$	$H, \text{ кг/мм}^2$	$\rho, \text{ мкОм} \cdot \text{м}$
1	0.800	5.4084	645	1.4
2	0.825	5.4043	—	1.4
3	0.850	5.4036	590	1.4
4	0.880	5.4045	455	—
5	0.900	5.4034	450	1.12
6	0.920	5.4082	360	—
7	0.950	5.4090	325	2.26
8	1.000	5.4100	404	—
9	1.000	5.4165	240	—
10	1.000	5.4173	315	1.13
11	1.030	5.4094	303	1.75
12	1.053	5.4050	428	2.51
13	1.080	5.3953	370	4.10
14	1.100	5.3895	395	—
15	1.120	5.4129	380	1.0
16	1.150	5.3960	435	—
17	1.176	5.4040	390	2.35
18	1.200	5.4120	—	1.00
19	1.200	5.3820	480	—
20	1.250	5.4034	—	1.04
21	1.250	5.3815	485	—
22	1.300	5.3950	485	—
23	1.330	5.3690 5.3750	604	3.00
24	1.350	5.3910 5.3890 5.3930	475	—

Таблица 1 (продолжение)

Номер образца	$R_x \cdot 10^4, \text{ см}^3/\text{Кл}$	$\alpha, \text{ мкВ/К}$	Фазовый состав	Способ приготовления
1	—	—	Неоднородный	Плавленый
2	—	—	»	»
3	—	0.8	»	Прессованный
4	—	—	Однородный	Плавленый
5	6.8	5.0	»	Прессованный
6	—	6.3	»	Плавленый
7	8.2	16.2	»	»
8	6.5	—	»	»
9	—	—	»	»
10	6.22	26.0	»	»
11	4.9	—	»	»
12	5.5	6.2	»	»
13	6.28	6.0	»	»
14	—	—	»	»
15	7.0	14.2	Неоднородный	Прессованный
16	—	—	»	Плавленый
17	5.8	—	»	»
18	—	16.0	»	Прессованный
19	—	—	»	Плавленый
20	—	11.2	»	Прессованный
21	—	—	»	Плавленый
22	—	—	»	»
23	4.4	—	»	»
24	—	—	»	»

микротвердость исследовалась на приборе ПМТ-3; ρ , a , R_x измерялись на стандартных установках, χ определялась по методу Фарадея на установке МБД-312 фирмы «Seteram» при напряженности внешнего магнитного поля 11 кГс. Погрешность измерения a составляла $\pm 0.0005 \text{ \AA}$, а χ не превышала $\pm 5\%$. Измерения a , H проводились при 300 К, χ , ρ — в интервале 3—300 К, a — при 300 К (а для некоторых образцов в интервале 8—1000 К), R_x — в интервале 11—300 К.

3. Результаты измерений и их обсуждение

В табл. 1 и на рис. 1 приведены данные для Tm_xS , полученные из микроскопических исследований шлифов, измерения a , H , ρ , R_x и χ при 300 К в зависимости от x , а на рис. 2—5 — экспериментальные результаты по температурным зависимостям ρ , R_x , χ и a для составов с разными значениями x .

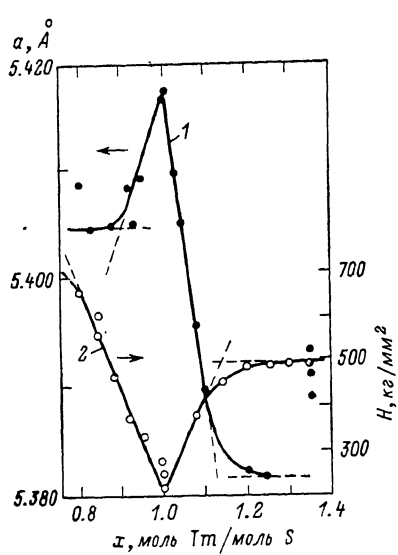


Рис. 1. Зависимость a (1) и H (2) от состава в Tm_xS . $T=300$ К.

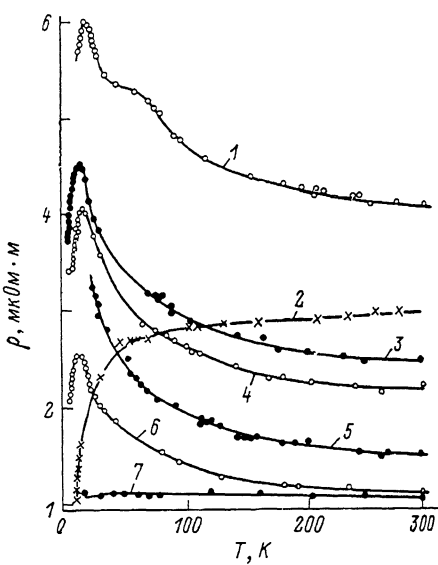


Рис. 2. Зависимость ρ от T для Tm_xS .
x: 1 — 1.08, 2 — 1.33, 3 — 1.05, 4 — 0.95, 5 — 1.03, 6 — 1.0, 7 — 0.9.

1. Из анализа данных по измерению постоянной кристаллической решетки от состава можно наиболее просто оценить границы области гомогенности. В области гомогенности a меняется непрерывно (и образцы однородны), на границах этой области a стремится к постоянной величине (и образцы становятся многофазными). Помогают оценить область гомогенности также и данные по исследованию микроструктуры шлифов и микротвердости. Помимо этого, границы области гомогенности можно зафиксировать и из зависимостей от состава других измеренных физических параметров.

Как видно из рис. 1 и табл. 1, a максимальна для состава с $x \approx 1$, а затем уменьшается в сторону как избытка, так и недостатка Tm . В районе $x \sim 0.9$ и 1.11 a начинает выходить на насыщение (при $x > 1.11$ и $x < 0.9$ наблюдается большой разброс значений a). H , наоборот, имеет минимум при $x \approx 1$, а затем возрастает в сторону $x > 1$ и $x < 1$ и стремится к насыщению при $x \sim 0.85$ и 1.15 .

Из данных по рентгеновскому фазовому анализу и микроскопическому исследованию металлографических шлифов можно заключить, что в интервале $x \sim 0.9 \div (1.08 \div 1.15)$ образцы Tm_xS однофазны, а значит, Tm_xS

как и другие моносульфиды РЗЭ [1], имеет широкую область гомогенности, которая лежит в пределах $0.9 < x < (1.1 \div 1.15)$. Из данных для ρ , R_X , a при 300 К нельзя сделать какие-либо заключения о границах области гомогенности. Однако температурные зависимости ρ , R_X (рис. 2, 3) для образцов из области $0.9 < x < 1.1$, $x=0.9$ и 1.33 имеют различный характер, что опять-таки подтверждает сделанный выше вывод о границах области гомогенности в Tm_xS .

2. Валентное состояние редкоземельного иона в моносульфидах Ln_xS с $Ln=La, Ce, Pr, Nd, Gd, Tb, Dy, Ho, Er, Lu$ всегда равно $3+(Ln^{3+})$ и не меняется в области гомогенности [4]. В моносульфидах двухвалентных РЗЭ ($Ln=Sm, Eu, Yb$) в пределах области гомогенности часть ионов Ln переходит в трехвалентное состояние, что компенсирует недостаток положительных зарядов в кристалле и обеспечивает электронейтральность [1].

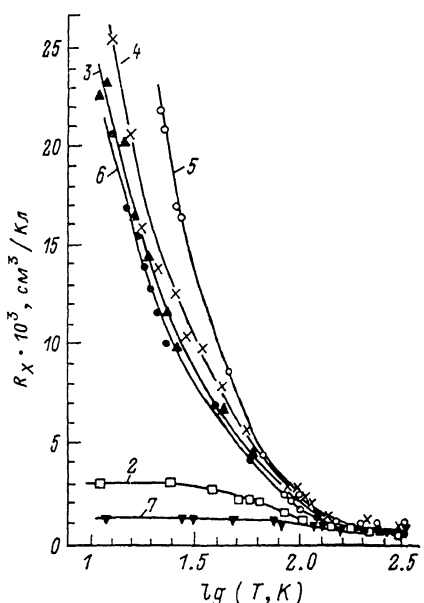


Рис. 3. Зависимость R_X'' от T для Tm_xS .

2—7 — то же, что и на рис. 2.

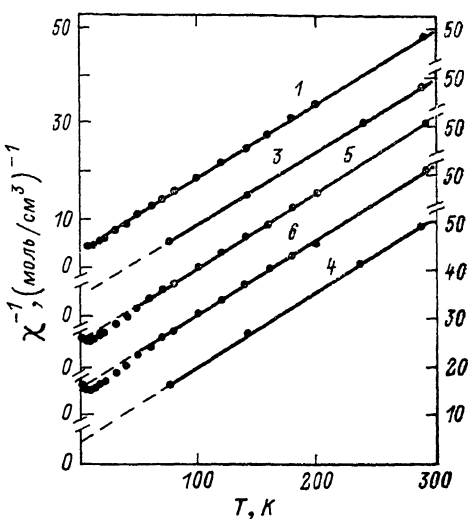


Рис. 4. Температурная зависимость обратной магнитной восприимчивости $1/\chi$.

1, 3—6 — то же, что и на рис. 2.

Валентное состояние ионов Тм в Tm_xS в области гомогенности в настоящей работе определялось из данных по периоду решетки и температурной зависимости χ .

Чувствительность a к валентному состоянию ионов Тм обусловлена заметным различием в величинах ионных радиусов Tm^{3+} (~ 0.87 Å) и Tm^{2+} (~ 1.04 Å). Так, например, в Tm_xSe , где в области гомогенности $0.87 < x < 1.05$ [5] валентность иона Тм изменяется от Tm^{3+} до $Tm^{2.75+}$, величина $\Delta a/a = (a_{x=1.05} - a_{x=0.87})/a_{x=1.0} \approx 17\%$. В то же время в Gd_xS [1, 5], где в области гомогенности валентность иона Гд не меняется и остается равной $3+$, $\Delta a/a \sim 0.4\%$. Изменение $\Delta a/a$ в этом случае связано с образованием вакансий в подрешетках Гд и S.

В Tm_xS в области гомогенности $\Delta a/a \sim 0.6\%$, что близко к ситуации, имеющей место в Gd_xS , а не в Tm_xSe . Это позволяет сделать заключение, что изменение a с x в области гомогенности Tm_xS также связано с образованием в решетке вакансий,¹ а не обусловлено изменением валентности

¹ Наши предварительные прикладочные расчеты показали, что при недостатке тугия по отношению к стехиометрии дефектную структуру кристалла образуют вакансии в подрешетке металла, в случае избытка тугия — вакансии в подрешетке серы, заполненные тугием. Истинную картину дефектной структуры Tm_xS можно будет представить лишь после тщательного измерения плотности образцов для области гомогенности.

ионов Тм. Валентность Тм в Tm_xS во всей области гомогенности остается неизменной и равной 3+.

В табл. 2 для большей наглядности суммированы приведенные выше рассуждения.

В методе магнитной восприимчивости валентность редкоземельного иона определяется из величины экспериментально измеренного эффективного момента $\mu_{\text{эфф}}$, приходящегося на редкоземельный ион. Применение этого метода оправдано для соединений тулия, поскольку, во-первых, имеет место большое различие в абсолютных величинах магнитных моментов μ^{3+} и μ^{2+} , относящихся соответственно к свободным ионам Tm^{3+} и

Таблица 2

Значения $\Delta a/a$ для области гомогенности
в Gd_xS , Tm_xSe и Tm_xS

Соединение	$\Delta a/a$, %	Причина изменения $\Delta a/a$
Gd_xS	~0.4	Образование вакансий в подрешетке Gd и S. Валентность Gd не меняется и равна 3+
Tm_xSe	~1.7	Изменение валентного состояния Тм от 3+ до 2.75+
Tm_xS	~0.6	Образование вакансий в решетке. Валентность Тм не меняется и остается равной 3+

Tm^{2+} : $\mu^{3+} = 7.56 \mu_B$, $\mu^{2+} = 4.58 \mu_B$ (μ_B — магнетон Бора); во-вторых, к соединениям тулия в парамагнитной фазе применимо приближение свободного иона.

$\mu_{\text{эфф}}$ определяется с помощью зависимости $\chi(T)$ в парамагнитной области, где выполняется закон Кюри-Вейса

$$\chi(T) = C_M/T - \theta, \quad (1)$$

C_M — молярная постоянная, θ — парамагнитная температура Кюри-Вейсса. $\mu_{\text{эфф}}$ рассчитывается по формуле

$$\mu_{\text{эфф}} = 2.84 \sqrt{C_M} \mu_B, \quad (2)$$

\bar{V} — среднюю валентность иона Тм находят с помощью модели, согласно которой $\chi(T)$ можно представить как сумму вкладов от Tm^{3+} и Tm^{2+} . В этой модели \bar{V} связана с $\mu_{\text{эфф}}$ приходящимся на ион Тм, соотношениями

$$\bar{V} = 3 - p^{2+} \quad (3)$$

(p^{2+} — доля Tm^{2+} , удовлетворяющая условию $p^{2+} + p^{3+} = 1$) и

$$p^{2+} = [(\mu^{3+})^2 - (\mu_{\text{эфф}})^2] / [(\mu^{3+})^2 - (\mu^{2+})^2]. \quad (4)$$

На рис. 4 приведена зависимость $\chi^{-1}(T)$, полученная для ряда составов Tm_xS ($x=0.95, 1.0, 1.03, 1.05, 1.08$). Для всех образцов в интервале $55 \leq T \leq 300$ К наблюдается линейный ход $\chi^{-1}(T)$, соответствующий зависимости (1).

Рассчитанные с помощью (1)–(4) значения $\mu_{\text{эфф}}$, θ и \bar{V} для Tm_xS приведены в табл. 3.

На рис. 6 представлены полученные зависимости $\bar{V}(x)$ и $\mu_{\text{эфф}}(x)$ для Tm_xS и Tm_xSe [6] (данные для Tm_xSe приведены для сравнения). Видно, что у Tm_xS (в отличие от Tm_xSe) \bar{V} во всей области гомогенности практически не меняется и близко к 3+ (на 4–7 % меньше, чем 3+). Заниженные значения \bar{V} (и $\mu_{\text{эфф}}$) наблюдались и ранее в [5–7] при использовании

рассмотренного выше метода для определения валентного состояния редкоземельных ионов в ряде соединений. По-видимому, это связано с эффектом поляризации электронов проводимости n локализованными магнитными моментами редкоземельных ионов. Под влиянием этого эффекта при поме-

Таблица 3

Значения $\mu_{\text{эфф}}$, Θ и V для Tm_xS
(область гомогенности)

x	$\mu_{\text{эфф}}, \mu_B$	Θ, K	V
1.08	7.33	-28	2.90
1.05	7.34	-29	2.91
1.03	7.21	-32	2.85
1.00	7.24	-33	2.87
0.95	7.24	-30	2.87

щении свободного редкоземельного иона в кристаллическую решетку с большой концентрацией n возможно уменьшение его магнитного момента μ . Для Tm_xSc $n \sim 10^{22} \text{ см}^{-3}$ неучт этого эффекта и приводит к заниженому значению V .

Полученные нами данные для валентности Tm в Tm_xS полностью согла-

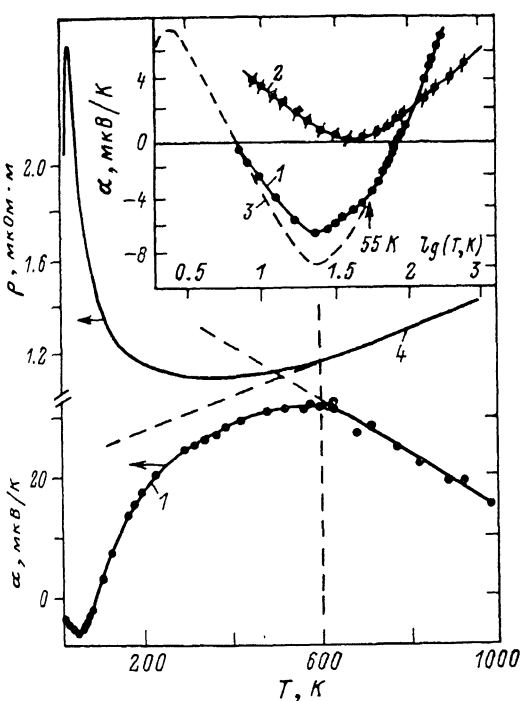


Рис. 5. Температурная зависимость α для TmS (1, 3), $Tm_{0.9}S$ (2).

1, 2 — наст. раб., 3 — [17], 4 — ρ TmS (взяты с рис. 8).

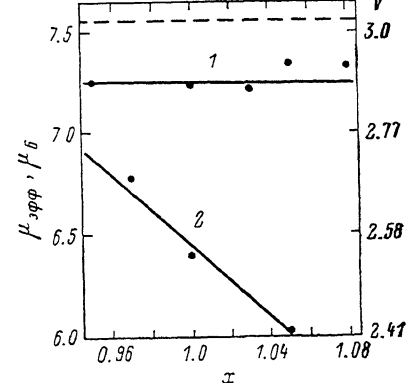


Рис. 6. Эффективные магнитные моменты и средние валентности ионов изотермия нестехиометрических образцов Tm_xS (1) и Tm_xSe (2) [5] в области гомогенности.

1.0, 1.03, 1.05, 1.08, 1.33 (рис. 2). У всех образцов, за исключением $Tm_{0.9}S$ и $Tm_{1.33}S$, поведение ρ (T) примерно одинаково, но качественно отличается от ρ (T) для металлоидных моносульфидов $Ln^{3+}S$, у которых $\rho \sim T$ (что типично для нормальных металлов).

Для составов, лежащих в области гомогенности Tm_xS , $\rho(T)$ с понижением температуры (ниже 300 К) возрастает, проходит через максимум и затем резко уменьшается. В районе 4–5 К (при температурах антиферромагнитного упорядочения) на кривых $\rho(T)$ наблюдаются небольшие изломы.² Вид зависимости $\rho(T)$ для составов, лежащих в области гомогенности Tm_xS , характерен для концентрированных кондо-систем [12, 13]. Для стехиометрического TmS было измерено $\rho(T)$ в интервале температур $3 \leq T \leq 930$ К (рис. 8). От 600 до 930 К $\rho \sim T$ (как у нормальных металлов), в районе 300–400 К наблюдается широкий минимум, а затем

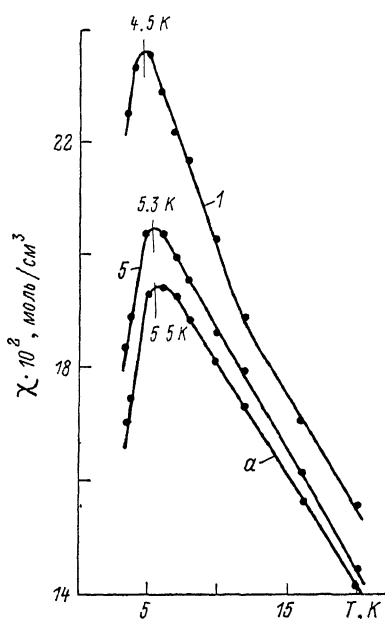


Рис. 7. Температурная зависимость магнитной восприимчивости в окрестности антиферромагнитного перехода для некоторых составов Tm_xS . 1, 5 — то же, что и на рис. 2; α — TmS .

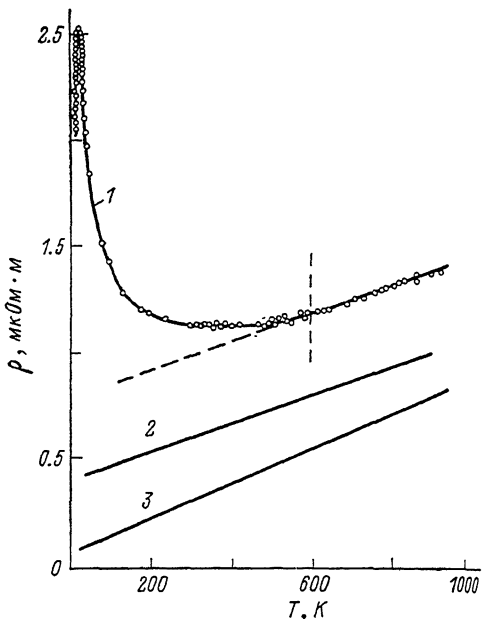


Рис. 8. Температурная зависимость ρ для TmS (1), HoS (2) и LaS (3).

Данные для HoS и LaS взяты из [16].

ρ (с понижением температуры) начинает возрастать. Такое поведение $\rho(T)$ также характерно для кондо-систем.

Нами обнаружен интересный факт. $\rho(T)$ имеет вид, характерный для концентрированных кондо-систем лишь в области гомогенности Tm_xS . На краях этой области характер поведения $\rho(T)$ резко меняется и становится уже не похожим на поведение $\rho(T)$ для кондо-систем.

4. Коэффициент Холла R_X измерен в Tm_xS в интервале 11–300 К для составов $x=0.9, 0.95, 1.0, 1.03, 1.053, 1.33$ (рис. 4). Оказалось, что для составов, лежащих в области гомогенности, $R_X(T)$ изменяется с температурой так же, как и в классических материалах с кондо-решетками (и тяжелыми фермионами) $CeAl_3$ и $CeCu_2Si_2$ [14, 15]. К температурной зависимости $R_X(T) \simeq \text{const}$, которая характерна для стандартных металлов, в Tm_xS приближаются лишь составы с $x=0.9$ и 1.33 , лежащие вне области гомогенности.

Для объяснения температурной зависимости R_X составов, лежащих в области гомогенности, можно воспользоваться моделью, предложенной в [16] для объяснения экспериментальных результатов $R_X(T)$ для $CeCu_2Si_2$.

² T_N для Tm_xS можно оценить из данных по температурной зависимости χ . На рис. 7 приведены кривые $\chi(T)$ Tm_xS ($x=1.0, 1.03, 1.08$) для области температур 3.5–20 К. Для этих составов на кривых $\chi(T)$ видны четкие пики соответственно при 5.5, 5.3 и 4.5 К, связанные с антиферромагнитным переходом.

Таким образом данные по эффекту Холла также подтверждают вывод о том, что в Tm_xS составы, лежащие в области гомогенности, ведут себя как концентрированные кондо-системы.

5. Термоэдс была измерена для большинства образцов Tm_xS при 300 К (табл. 1), а для TmS в интервале 8—1000 К и $Tm_{0.9}S$ в интервале 9—300 К (рис. 5). На рис. 5 приведена также кривая $\rho(T)$ для стехиометрического состава TmS . Видно, что зависимости $\alpha(T)$ и $\rho(T)$ для TmS хорошо коррелируют между собой.

Для низких температур наши данные для $\alpha(T)$ TmS согласуются с результатами, полученными в [17]. При повышении температуры α проходит через широкий максимум в районе 500 К и затем (после 600 К) начинает уменьшаться по линейному закону. Температура, с которой начинается линейная зависимость $\alpha(T)$, совпадает с температурой, при которой у $\rho(T)$ наблюдается линейное возрастание ρ с T (рис. 5).

Таким образом, данные по термоэдс подтверждают вывод о том, что при $T \geq 600$ К концентрированная кондо-система (к которой относится TmS) переходит в обычную стандартную металлическую систему. При $T \leq 600$ К поведение $\alpha(T)$ TmS можно описать в рамках представлений о концентрированной кондо-системе [17-19].

У $Tm_{0.9}S$ (рис. 5, вставка) во всей исследованной области температур α положительно. При ~ 45 К наблюдается неглубокий минимум. Наличие минимума, по-видимому, обусловлено слабым эффектом Кондо, отрицательный вклад которого в $\alpha(T)$ маскируется большим по величине положительным вкладом за счет несферичности поверхности Ферми. Таким образом, $\alpha(T)$ $Tm_{0.9}S$ в совокупности с данными для $\rho(T)$ указывают на значительное ослабление эффекта Кондо на границе области гомогенности.

В результате проведенного исследования можно сделать следующие выводы.

1. В Tm_xS существует широкая область гомогенности (распространяющаяся как в область избытка, так и в область недостатка туния), которая лежит в пределах $0.9 < x < (1.1 \div 1.15)$.

2. В пределах области гомогенности валентность туния остается неизменной и равной 3+.

3. В области гомогенности Tm_xS происходит образование вакансий как в подрешетке туния, так и в подрешетке серы.

4. Составы, относящиеся к области гомогенности Tm_xS по поведению физических характеристик, можно отнести к концентрированным кондо-системам.

5. На краях области гомогенности Tm_xS (в сторону большего избытка или недостатка туния) поведение физических параметров характерно для обычных стандартных металлов.

6. Для составов в области гомогенности Tm_xS при $T \geq 600$ К поведение физических характеристик меняется.

При $T < 600$ К они описываются в рамках представлений концентрированной кондо-системы, а при $T > 600$ К в рамках обычного стандартного металла.

Список литературы

- [1] Голубков А. В., Сергеева В. М. // ЖВХО им. Д. И. Менделеева. 1981. Т. 26. № 6. С. 645—653.
- [2] Смирнов И. А., Оскотский В. С. // УФН. 1978. Т. 124. С. 241—279.
- [3] Голубков А. В., Жукова Т. Б., Сергеева В. М. // Изв. АН СССР, Неорг. матер. 1966. Т. 2. № 11. С. 77—81.
- [4] Голубков А. В., Сергеева В. М. // Препринт АН СССР, УНЦ, Ин-т физики металлов. Свердловск, 1977. С. 28—35.
- [5] Калдис Э., Фритцлер Б. // ЖВХО им. Д. И. Менделеева. 1981. Т. 26. № 6. С. 654—663.
- [6] Wachter P., Kaldus E., Hauger R. // Phys. Rev. Lett. 1978. V. 40. N 21. P. 1404—1407.
- [7] Wachter P., Kaldus E. // J. Magn. Magn. Mat. 1980. V. 15. P. 305—306.
- [8] Iandelli A., Palenzona A. // Col. Int. CNRS. 1967. N 157. P. 397.
- [9] Bucher E., Andres K., Di Salvo P. J., Marita J. P., Cossard A. C., Cooper A. C., Hull G. W. // Phys. Rev. B. 1975. V. 11. N 1. P. 500—513.

- [10] Martensson N., Reihl B., Pollak R. A., Holtzberg F., Kaindl G. // Phys. Rev. B. 1982. V. 25. N 10. P. 6522—6525.
- [11] Kaindl G., Brewer W. D., Kalkowski G., Holtberg F. // Phys. Rev. Lett. 1983. V. 51. N 22. P. 2056—2059.
- [12] Бутаев Б. М., Попов В. В., Романова М. В., Романов В. В., Смирнов И. А. // Актуальные вопросы физики и химии полупроводников. Махачкала, 1988. С. 56—64.
- [13] Мошалков В. В., Брандт Н. Б. // УФН. 1986. Т. 149. № 4. С. 585—634.
- [14] Алиев Ф. Г., Брандт Н. Б., Мошалков В. В., Случанко Н. Е., Чудинов С. М., Ясницкий Р. И. // Письма в ЖЭТФ. 1983. Т. 37. № 37. С. 299—302.
- [15] Алиев Ф. Г., Брандт Н. Б., Мошалков В. В., Петренко О. В., Чудинов С. М., Ясницкий Р. И. // ЖЭТФ. 1984. Т. 86. № 1. С. 255—271.
- [16] Голубков А. В., Гончарова Е. В., Жузе В. П., Логинов Г. М., Сергеева В. М., Смирнов И. А. // Физические свойства халькогенидов редкоземельных элементов. Л., 1973. 303 с.
- [17] Jaccard D., Sierro J., Bucher E. // Sol. St. Comm. 1979. V. 31. N 10. P. 713—715.
- [18] Jaccard D., Flouquet J., Sierro J. // J. Appl. Phys. 1985. V. 57. N 1. P. 3084—3086.
- [19] Lacroix C. // J. Appl. Phys. 1982. V. 53. N 3. P. 2131—2133.

Физико-технический институт
им. А. Ф. Иоффе
Ленинград

Поступило в Редакцию
26 февраля 1990 г.